

既設トンネルに対する上部盛土・切土の影響解析

金沢工業大学 正会員 土屋 敬
 鉄道総合技術研究所 正会員 朝倉 俊弘
 金沢工業大学 正会員○亀田 徹也 *
 金沢工業大学 正会員 尾崎 良明**

1. まえがき

半無限の水平盛土・切土によりトンネルがどのように影響を受けるかを非線形FEM解析により検討し、無制限領域、要注意領域、制限領域を定めるための資料とする。

2. 解析手法とモデル

本研究は、二次元非線形解析プログラム(NATM FEM)を用いて解析を行った。本解析を行う上でのトンネル断面は、複線断面(新幹線A型・直線用), 覆工厚60cm、単線断面・在来線・単線1号型, 覆工厚45cmの2種類とした。解析領域モデルは、“トンネル掘削による地表沈下解析における領域の影響”¹⁾を参考に領域を幅7D, 深さ3Dに決定した。盛土・切土解析を表-1に示す条件で行う。すなわち、盛土は初期土被り高0.5D~5Dを最終土被り高6Dまで行い、切土は初期土被り高1D~6Dを最終土被り高0.5Dまで行う。計算に用いる地山物性値は、表-3の土屋の分類²⁾によるものであり基本物性値は軟岩を使用している。◎印は他の地山種別、すなわち土砂1, 土砂2, 中硬岩, 硬岩について解析を行った。また、※印は本解析の一例を示したものであるが初期土被り高4D(現G.Lがトンネル天端から40m)の地山を4D→5D→6Dまで盛土してゆくことを示したものである。トンネル上部の盛土及び切土は、水平に施工されるものとして解析を行っている。解析ステップとケース数は、表-2に示す通りである。

なお、覆工はラティス要素とする。

3. 解析結果

解析結果は、変位量(天端、側壁、脚部側壁、路盤中央)、覆工応力(内側: トンネル側, 外側: 地山側)を出力した。

本解析で得られた主な結果は以下の通りである。

- 1) 覆工応力は、盛土高または切土高にほぼ比例に増加している。しかし盛土における最大応力、切土における最小応力はやや非線形な傾向が出ている。(図-1, 図-2)
- 2) 変位量は、盛土高又は切土高にほぼ比例して増大する。路盤と天端の相対変位量は側壁水平変位量を比べると複線では1.5倍、単線では1.0倍と大きい。(図-3, 図-4, 図-5)
- 3) 複線断面と単線断面を比較すると、断面形状の差により同一条件での変形量は3~4倍近く複線断面の方が大きい。(図-4, 図-6)
- 4) 解析値は、盛土・切土にかかわらず弾性係数に依存し特に $D_0 = 1 \times 10^3 \text{ kgf/cm}^2$ オーダー以下になると敏感に反応する。軟岩、土砂地山の解析は入力物性値を十分吟味する必要がある。(図-7, 図-8)

* 現 大成建設㈱ ** 中央復建コンサルタント㈱

表-1 盛土・切土条件

盛土・切土条件						
8.5D	10D	12D	3D	4D	5D	6D
○	→	→	→	→	→	→
◎	→	→	→	→	→	→
○	→	→	→	→	→	→
	○	→	→	→	→	→
←	○					
←	←	○				
←	←	←	◎			
←	←	←	←	○		
←	←	←	←	←	○	
←	←	←	←	←	←	○
8.5D	10D	12D	3D	4D	5D	6D

● 初期土被り高を示す。

◎ 地山物性値は基本物性値を使用。

表-2 解析ステップとケース数

解析	解析STEP	内 容	解析ケース数
			30ケース
掘削	0	初期応力状態	30ケース
	1	トンネル掘削	
解析	0	掘削後応力状態	40ケース
	1	覆工打設	
本解析	2	盛土・切土	

地 山	地 山	内一式 地 山 分 别						引張強度
		初期応力	初期応力	地盤力	地盤力	地盤力	地盤力	
種 别	γ	D ₀	c	φ	v	R _{at}	n	e _t
土砂 I	1.8	200	0.2	30	0.35	1.0	2	0.09
土砂 II	1.8	500	0.2	35	0.35	1.0	2	0.57
中硬岩	2.0	1,000	1.5	30	0.30	0.3	4	5.2
硬岩	2.3	10,000	10.0	45	0.30	0.2	4	20.0
硬岩	2.0	100,000	80.0	55	0.25	0.2	8	84.0
盛土	1.8	200	0.2	30	0.35	1.0	2	0.69

■ 基本物性値 * $\gamma = c / (5 \times \tan \phi)$
 ■ 引張強度 $e_t = D_0 / 50$

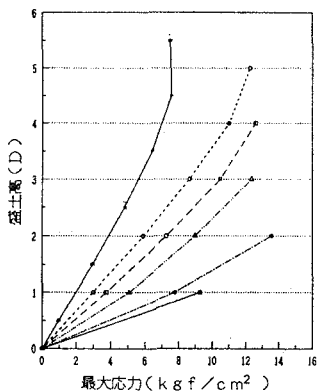


図-1 単線・盛土(軟岩)最大応力

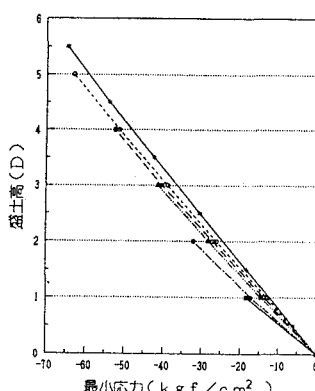


図-2 単線・盛土(軟岩)最小応力

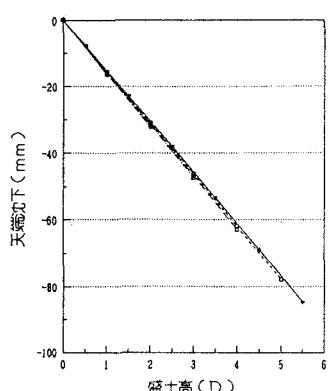


図-3 単線・盛土(軟岩)天端変位

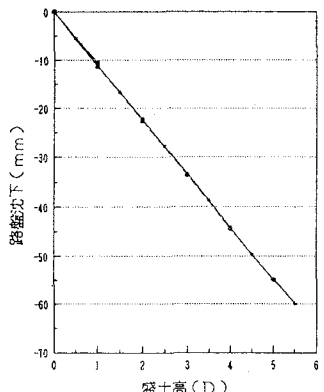


図-4 単線・盛土(軟岩)路盤変位

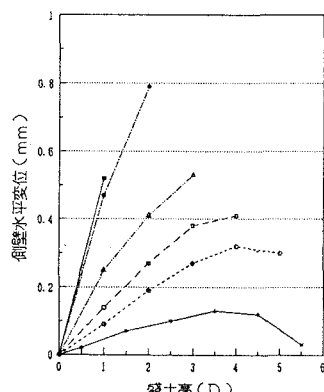


図-5 単線・盛土(軟岩)側壁水平変位

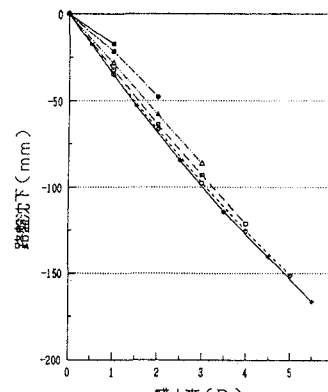
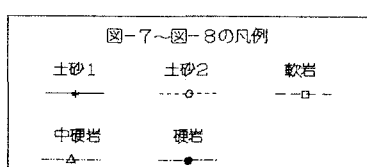
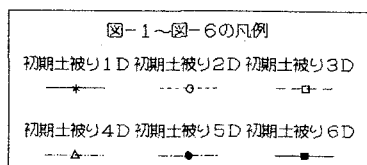


図-6 複線・盛土(軟岩)路整変位



(応力)

・+ : 引張応力, - : 圧縮応力

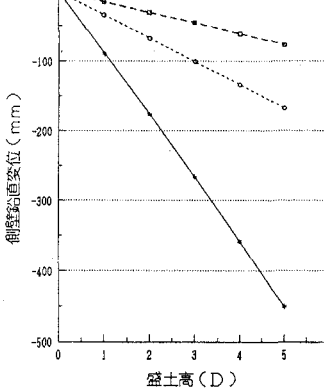


図-7 単線・盛土(物性値)側壁鉛直変位

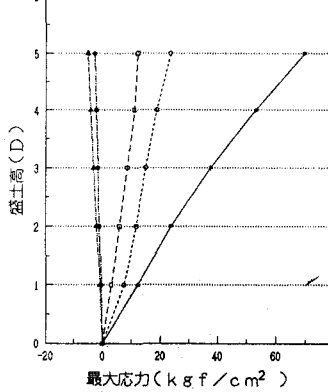


図-8 単線・盛土(物性値)最大応力

《参考文献》

- 1) 関森, 宮崎, 土屋, 小野田: “トンネル掘削による地表沈下解析における領域の影響”, 第48回土木学会講演概要集, 第3部, 1993.
- 2) 土屋 敬: “ロックボルト・吹き付けコンクリートトンネル工法の設計に関する研究”, 1986.5.